

## 【特别提示】

### 1. 课前预习

课前预习实验原理，了解实验器材和实验内容。**不用写预习报告！**

### 2. 实验阶段

了解实验仪器的功能，掌握仪器的使用方法，爱护实验器材

记录实验数据要规范；不得篡改、抄袭实验数据

实验数据需要指导老师签字

整理实验仪器。

### 3. 实验报告

**需要提交签字的原始数据，撰写实验报告！**

# 弗兰克-赫兹实验

## 一、实验目的

- (1) 通过测定氩原子等元素的第一激发电位，证明原子能级的存在。
- (2) 了解研究原子内部能量问题时所采用的基本实验方法
- (3) 了解电子与原子碰撞和能量交换过程的微观图象
- (4) 进一步理解玻尔的原子理论

1913 年丹麦物理学家玻尔 (N·Bohr) 提出了原子能级的概念并建立了原子模型理论，原子处于稳定状态时不辐射能量，当原子从高能态 (能量  $E_m$ ) 向低能态 (能量  $E_n$ ) 跃迁时才辐射。辐射能量满足：

$$\Delta E = E_m - E_n$$

对于外界提供的能量，只有满足原子跃迁到高能级的能级差，原子才吸收并跃迁，否则不吸收。

1914 年德国物理学家弗兰克 (J·Franck) 和赫兹 (G·Hertz) 用慢电子穿过汞蒸气的实验，测定了汞原子的第一激发电位，从而证明了原子分立能态的存在。后来他们又观测了实验中被激发的原子回到正常态时所辐射的光，测出的辐射光的频率很好地满足了玻尔理论。弗兰克—赫兹实验的结果为玻尔理论提供了直接证据。

玻尔因其原子模型理论获 1922 年诺贝尔物理学奖，而弗兰克与赫兹的实验也于 1925 年获此奖。弗兰克——赫兹实验与玻尔理论在物理学的发展史中起到了重要的作用。

## 二、实验原理

弗兰克—赫兹实验原理 (如图 1 所示)，氧化物阴极 K，阳极 P，第一、第二栅极分别为  $G_1$ 、 $G_2$ 。

K- $G_1$ - $G_2$  加正向电压，为电子提供能量。 $U_{G_1K}$  的作用主要是消除空间电荷对阴极电子发射的影响，提高发射效率。 $G_2$ -P 加反向电压，形成拒斥电场。

电子从 K 发出，在 K- $G_2$  区间获得能量，如果电子进入  $G_2$ -P 区域时动能大于或等于  $eU_{G_2P}$ ，就能到达板极形成板极电流  $I$ 。

电子在不同区间的情况：

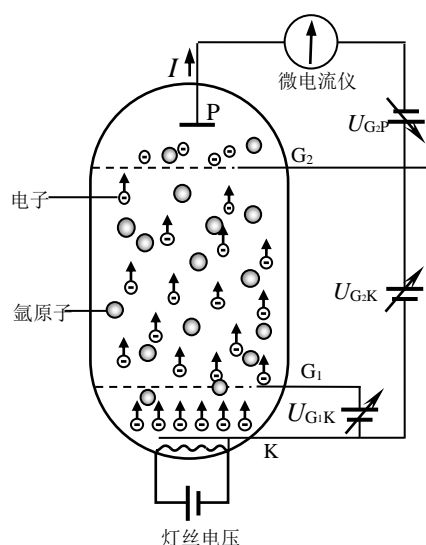


图 1 弗兰克-赫兹实验原理图

(1) **K-G<sub>1</sub> 区间** 电子迅速被电场加速而获得能量。

(2) **G<sub>1</sub>-G<sub>2</sub> 区间** 电子继续从电场获得能量并不断与氩原子碰撞。当其能量小于氩原子第一激发态与基态的能级差 $\Delta E = E_2 - E_1$ 时，氩原子基本不吸收电子的能量，碰撞属于弹性碰撞。当电子的能量达到 $\Delta E$ ，则可能在碰撞中被氩原子吸收这部分能量，这时的碰撞属于非弹性碰撞。 $\Delta E$ 称为临界能量。

(3) **G<sub>2</sub>-P 区间** 电子受阻，被拒斥电场吸收能量。若电子进入此区间时的能量小于 $eU_{G2P}$ 则不能到达板极。

由此可见，若 $eU_{G2K} < \Delta E$ ，则电子带着 $eU_{G2K}$ 的能量进入 G<sub>2</sub>-P 区域。随着 $U_{G2K}$ 的增加，电流 $I$ 增加（如图 2 中  $Oa$  段）。

若 $eU_{G2K} = \Delta E$ 则电子在达到 G<sub>2</sub>处刚够临界能量，不过它立即开始消耗能量了。继续增大 $U_{G2K}$ ，电子能量被吸收的概率逐渐增加，板极电流逐渐下降（如图 2 中  $ab$  段）。

继续增大 $U_{G2K}$ ，电子碰撞后的剩余能量也增加，到达板极的电子又会逐渐增多（如图 2 中  $bc$  段）。

若 $eU_{G2K} > n\Delta E$ 则电子在进入 G<sub>2</sub>-P 区域之前可能 $n$ 次被氩原子碰撞而损失能量。板极电流 $I$ 随加速电压 $U_{G2K}$ 变化曲线就形成 $n$ 个峰值，如图 2 所示。相邻峰值之间的电压差 $\Delta U$ 称为氩原子的第一激发电位。氩原子第一激发态与基态间的能级差

$$\Delta E = e\Delta U \quad (2)$$

### 三、实验器材

微型弗兰克-赫兹实验仪（FD-FH-C），示波器

### 四、实验内容

#### 1、用示波器观察氩原子的激发曲线。

(1) 将实验仪的“ $U_{G2K}$  输出”与示波器的“X 相”通道相连，“ $I_P$  输出”与示波器的“Y”通道相连。将实验仪“手动 / 自动”置于“自动”模式，“ $I_P$  电流显示”设置为“0.1 $\mu$ A”；示波器设置为“X-Y”模式。

(2) 将灯丝电压 $U_F$ 、栅极电压 $U_{G1K}$ 、 $U_{G2K}$ 、遏止电压 $U_{G2P}$ 缓慢调节到仪器的“出厂检验参考

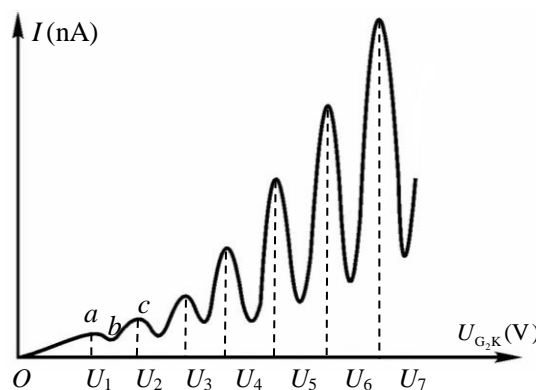


图 2 弗兰克-赫兹实验 $V_{G2K} \sim I$ 曲线

值”，预热 2 分钟。在参考值 $\pm 50\%$ 范围内分别调节  $U_F$ 、 $U_{G1K}$ 、 $U_{G2K}$ 、 $U_{G2P}$ ，观测并用文字描述各实验参数对激发曲线的影响，分析各参数对激发曲线的作用机制。

## 2、测量氙原子的激发曲线。

(1) 将实验仪“手动 / 自动”置于“手动”模式，“ $I_p$  电流显示”设置为“0.1uA”。

(2) 将灯丝电压  $U_F$ 、栅极电压  $U_{G1K}$ 、 $U_{G2K}$ 、遏止电压  $U_{G2P}$  缓慢调节到仪器的“出厂检验参考值”。**粗测：**手动方式逐渐增大  $U_{G2K}$  电压，观察  $I_p$  变化，依次记录激发曲线的 6 个峰、谷的大概位置。**细测：**手动方式逐渐增大  $U_{G2K}$  电压，在 10.0~95.0V 内以 0.5~2.0V 为步长（在峰、谷附近以 0.5V 为步长）改变加速电压  $U_{G2K}$ ，观察  $I_p$  变化，测量 6 个完整的峰、谷数据。

(3) 以第二栅极电压  $U_{G2K}$  为横坐标，阳极电流  $I_A$  为纵坐标，绘制氙的  $U_{G2K} \sim I_p$  激发曲线；根据大学物理实验（第二册）图 4.3.1-7 所述方法得到相差曲线。用最小二乘法处理，计算出氙原子的第一激发电位。

## 3、课间计算。

若已知在汞蒸汽中电子的平均自由程 $\lambda$ 与温度  $T$ 、蒸汽压  $p$  的关系为：

$$\lambda = \frac{kT}{\pi r^2 p}$$

式中  $k$  为玻尔兹曼常数，汞原子半径  $r = 0.176 \text{ nm}$ 。

计算 80、90、100、160、170、180℃时电子在汞蒸汽中的平均自由程 $\lambda$ 。

### 思考题：

- (1)  $U_{G2K} \sim I_p$  曲线电流下降并不十分陡峭，主要原因是什么？
- (2)  $I$  的谷值并不为零，而且谷值依次沿  $U_{G2K}$  轴升高，如何解释？
- (3) 第一峰值所对应的电压是否等于第一激发电位？原因是什么？
- (4) 写出氙原子第一激发态与基态的能级差。

### 注意事项：

1、因有微小电流通过阴极 K 而引起电流热效应，致使阴极发射电子数目逐步缓慢增加，从而使阳极电流  $I_p$  缓慢增加，形成“漂移”现象。 $U_{G2K}$  应从小至大依次逐渐增加，每增加 0.5V 或 2V 后读阳极电流表读数，不回读，不跨读。

2、实验完毕后， $U_F$ 、 $U_{G1K}$ 、 $U_{G2K}$ 、 $U_{G2P}$  应调至最小值！

## 附 录

汞在不同温度下的蒸汽压

玻尔兹曼常数 $k$	$1.38 \times 10^{-23} \text{ J} \cdot \text{K}^{-1}$
温度 /°C	蒸汽压 /Pa
60	3.4
70	6.4
80	11.8
90	21.1
100	36.4
110	61.0
120	99.4
130	158.1
140	246.0
150	374.2
160	558.5
170	817.0
180	1172.7
190	1656.3
200	2304.7